

128294

基本館藏

水工建筑物地基的 坚硬岩石抗剪强度

C. A. 罗 查 著

2
04

地质出版社

水工建築物地基的堅硬岩石抗剪強度

C. A. 罗 查 著

張 月 娟 譯

徐 緒 瑰 校

地質出版社

1957·北京

C. A. ROZA
кандидат технических наук
СОПРОТИВЛЕНИЕ
СКАЛЬНЫХ ПОРОД
ОСНОВАНИЯ ГИДРОТЕХНИЧЕСКОГО
СООРУЖЕНИЯ
СДВИГАЮЩЕМУ УСИЛИЮ
ГОСУДАРСТВЕННОЕ ИЗДАТЕЛЬСТВО
ЛИТЕРАТУРЫ ПО СТРОИТЕЛЬСТВУ И АРХИТЕКТУРЕ
Москва—1952

在本書中研究堅硬和半堅硬岩石的抗剪強度問題，該問題對於正確地確定在堅硬岩石上設計的水工建築物地基的抗剪強度，具有重大的意義。

本書分析和綜合了滑石貌較鹽岩石、含碳酸鹽泥質膠結物的岩石、砂岩和泥質岩、砂質—泥質岩石、石灰岩和泥灰岩抗剪強度的一系列的研究結果。

本書供在堅硬和半堅硬岩石上設計和建築水工建築物的科學工作者及工程師之用。

水工建築物地基的堅硬岩石抗剪強度

著者	C. A. 罗	查
譯者	張月娟	
校者	徐緒媛	
出版者	地質出版社	
	北京宣武門外永光寺西街3號	
	北京市書刊出版業營業許可證出字第050號	
發行者	新華書店	
印刷者	地質印刷廠	
	北京廣安門內教子胡同甲32號	

編輯：孔詠先 技術編輯：張華元 校對：洪梅玲
印數（京）1—1,060 冊 1957年9月北京第1版
开本31"×43" /₂₅ 1957年9月第1次印刷
字數40,000 印張 52/3
定价(10) 0.34 元

目 錄

1. 緒言	5
2. 堅硬岩石的抗剪強度	14
滑石 - 碳酸鹽類岩石	14
含碳酸鹽粘土質膠結物的岩石	25
砂岩及泥板岩	27
砂質 - 粘土質岩石	31
石灰岩	33
3. 堅硬岩石的抗剪斷強度	36
滑石 - 碳酸鹽類岩石	37
含碳酸鹽粘土質膠結物的岩石	37
砂岩及泥板岩	38
砂質 - 粘土質岩石	43
泥灰岩	44
頁岩	47
4. 堅硬岩石的抗切強度	51
5. 關於堅硬岩石的抗剪強度的變化特性	54
6. 測定堅硬岩石抗剪強度方法的原則	55
參考文獻	59

1. 緒 言

由于大型水工建筑物不断地兴建在坚硬及半坚硬岩石上面，因而研究这些岩石的抗剪强度的问题，就有了重大的意义。

但是，对于水工建筑物地基的坚硬岩石的抗剪性，却从未进行过系统的、综合性的研究。

坚硬岩石的抗剪强度是岩石力学中的一部分。过去它在解决各种水力工程问题上的应用范围很狭窄，这就说明了对坚硬岩石抗剪强度的研究还是不够的。

在研究坚硬岩石的抗剪强度时，往往忽略了火成岩、坚硬沉积岩和变质岩的抗剪强度的性质，以及抗剪强度与岩石完整性之间的关系。同时，也未考虑岩石成分和矿物状态对抗剪强度的影响。

为了降低建筑物造价，提高施工速度，研究抗剪力问题是地基勘察和水工建筑物设计机构的首要任务之一。

大家都知道，火成岩具有粒状结晶。其粒径决定于岩石的冷却速度。结晶过程愈慢，则颗粒愈大。颗粒之间并无胶结物质，但粘着力很大，往往超过颗粒本身的坚固性。

沉积岩中主要包括石灰岩和砂岩，其颗粒由胶结物質粘結。石灰岩主要是由海生动物殘骸（貝壳）中的碳酸鈣組成，这些殘骸为水溶液中沉淀的鈣鹽所膠結。砂粒沉积再經各种膠結物粘結后，便形成坚固性不同的各种砂岩；砂岩的坚固性取决于颗粒表面的形状和膠結物質的种类（如：砂質，石灰質，鐵質和粘土質等）。

由火成岩和沉积岩变成的片岩是最常见的变质岩。但是必须指出：岩石在变质过程中所形成的片理与岩石最初形成时所产生的層理是不同的。

坚硬岩石經常受到地質構造作用和其他一些有时比較快、有时又極慢的逐步破坏作用的影响。这种破坏作用或風化作用的產生是由于下列因素：温度的变化、水份和气体的作用等。該作用使岩石松散并遭到破坏。

由此可知，測定水工建筑物地基內坚硬岩石的坚固性和將抗剪強度試驗結果正确地应用于整体岩石上，是一个多么复雜的問題。

在建筑物地基的工程地質勘察中，并未將坚硬岩石象粘性和非粘性土一样地測定其抗剪強度。

坚硬岩石与土的区别，在于岩石各个顆粒間的結構联系很強。这种联系在火成岩中產生于岩石的一般結晶过程中；而沉積岩中，则產生于膠結物質的結晶过程中。有时，沉積岩顆粒間的結構联系具有粘性物質（如泥質頁岩）的性質。

一般都認為，坚硬岩石的結構联系比混凝土的結構联系強；并且認為，在評定坚硬岩石抗剪強度时，所產生的誤差不致影响筑于該类岩石上的建筑物，虽然坚硬岩石的抗剪特性并未經過詳細研究。当然，这是不正确的，因为坚硬岩石的坚固性往往弱于混凝土。

規范及手册中的資料是符合設計要求的。例如，混凝土砌筑物沿坚硬岩石滑动和混凝土砌筑物相互間發生滑动时的摩擦系数等于0.65，而石砌筑物沿坚硬岩石滑动时的摩擦系数則为0.70。

研究坚硬岩石的抗剪強度要比研究粘性土壤的抗剪強度复雜得多。这不僅因为坚硬岩石的粘結性質不同，而且还必須考慮其所受变質作用，空隙及填充物質的性質和各种風化營力作用的結果。

必須指出，为了更全面地利用当地的条件，以及查明建筑物岩石基礎抗剪強度增大的可能性，研究建筑物分布区内坚硬岩石的產狀和考慮坚硬岩石与混凝土的凝聚力对于降低建筑成本來說，是具有重大意义的。

在水工勘測中，一般很少研究坚硬岩石的抗剪強度，只有当建筑物地基中有坚固性很小的坚硬岩石及半坚硬岩石，即極限抗压強度小于50公斤/公分² 的时候才研究抗剪強度。

研究抗剪強度时，垂直应力的变化范围不大，即相当于所設計重

方式水工建筑物底部的計算应力。

虽然如此，但是这些研究結果仍然很可貴，因为在苏联兴建水工建筑物的河谷和沿海地区常常是由坚固性較小的岩層構成，經過上述研究后对于某些坚硬的岩石來說，即可确定：

- (1) 岩石在外部压力作用下，抗剪强度变化的一般規律；
- (2) 研究坚硬岩石抗剪强度的方法和原理，以及選擇坚硬地基上重力式水工建筑物計算方法和原理。

对下列各類坚硬岩石曾進行了抗剪强度的研究：

- (1) 滑石碳酸鹽类岩石；
- (2) 碳酸鹽粘土質膠結岩石；
- (3) 砂岩及泥板岩；
- (4) 砂質 - 粘土質岩石；
- (5) 石灰岩及泥灰石。

研究資料擇自格尔奇科夫 (Е. А. Герчиков) [1]，馬尔齐罗索夫 (А. Х. Мартиросов) [2]，拉津 (Н. В. Разин) [3]，列宁格勒水电設計分院 (ЛЕНГИДЭП) 的档案資料，阿达莫維奇 (А.Н. Адамович)，納烏明科 (К. А. Науменко)，普羅楚漢 (Д. П. Прочухан)，赫雷斯托娃 (Е.Н. Хлыстова)，斯尼亞特科夫 (А.А. Снятков) 以及本書作者的著作。

上述研究所用的岩样，全部取自設計建筑物地区的坑孔中。取样深度在奠基标高上或更深的地方。

坚硬岩样用合金齒圓盤鋸锯开，而松軟岩样則用圓盤鋸或手鋸锯开。样品的面用金剛砂輪磨平，最后在磨輪上加工。

岩石的抗剪强度可根据下列試驗結果确定：

- (1) 同类岩塊間的剪切試驗；
- (2) 在試驗室或岩石埋藏地点進行岩石的抗剪断試驗；
- (3) 固結在岩样粗糙面上的混凝土的抗剪断試驗。

大家都知道，岩石本身是非常不均匀的，即使取样地点，岩石性質，試驗条件完全相同，但所得出的力学強度指标却極不一致。这是由于岩石的結構、構造、性質、孔隙和裂隙、容重等等都不相同的緣

故。

Л.И.巴隆(Барон)曾对顯微結構差別不大未經風化的无裂隙的花崗岩作了專門的試驗。試驗結果說明：19个試样的極限抗压強度为495—1600公斤/公分²，平均为990公斤/公分²，最大与最小值之比为3.2。具有風化痕跡(即顏色略变)的同一塊花崗岩的試样，其極限抗压強度为508—1224公斤/公分²，平均为760公斤/公分²，比值为2.4。其他試驗者所求出的岩石極限抗压強度最大与最小值之比等于3.0。

取之同一砂岩的60个試样的組平均極限抗压強度为360—1570公斤/公分²，而每組內最大比值为2.3；其他12个砂岩試样的極限抗压強度为378—1400公斤/公分²，比值为3.7；6种頁岩試样的極限抗压強度为401—805公斤/公分²，比值为2.0。

有些岩石隨着坚固性的減小，其最大和最小極限抗压強度的比值逐漸增大。

下面所列举的岩塊間的抗剪強度与坚硬岩石抗剪斷強度的測定結果也是变化多端的，这說明了岩石的不均匀性。

为了更明顯起見，將滑石—碳酸鹽类岩石的試驗結果制為曲綫。

可以設想，水工建筑物地基岩石由于遭受風化，其強度指标比上述变化要更大些。

由于成分不均匀，填料中有粗粒物質以及施工条件限制而引起的混凝土極限抗压強度的变化要小于坚硬岩石。

大家都知道，抗压試驗的結果不僅取决于試样的形狀和大小，以及受压面的粗糙程度和摩擦力（如受压面塗以石蜡，則極限抗压強度約可降低50%），同时并与施加荷重的速度等等有关。此外應估計到，混凝土試样的坚固性与建筑物混凝土的坚固性是不同的。不过，通过这些試驗仍可測出該材料坚固性的变化情况。

在某一使用25年的混凝土項段上，当打鑽时所取得的呈岩心狀的混凝土的專門試驗証明：相同試样的極限抗压強度最大与最小比值是1.12至1.27，而高度与該試样相同，但直徑为10公分的圓柱形試样（各种岩心）的平均極限抗压強度为129—215公斤/公分²。取自其他混凝土項的試样，作同样試驗后，得出的極限抗压強度則为161—481

公斤/公分²。

上述試驗結果證明，各種建築物的混凝土的堅固性是不同的。因此應該估計到混凝土抗剪強度的變化是很大的。同時建築物的岩石地基也具有類似的变化。因此，檢查有壓建築物的穩定性時，必須要用最簡明的方法來選定計算數據。

大家都知道，測定均一堅硬岩石和混凝土（為試驗用而仔細制備的）的抗剪強度及抗剪斷強度時，如果改變作用在岩石上的荷重，便能作出抗剪強度與荷重的關係曲線。壓力變化不大時關係曲線很平緩，近於直線。有時由於試驗點很分散也可能產生上述現象。試驗點分散是由天然產狀堅硬岩石堅固性不等的緣故。

這種直線關係的公式如下：

$$x = a y + b \text{ 公斤/公分}^2 \quad (1)$$

式中

x ——抗剪強度公斤/公分²；

y ——垂直於剪力方向的岩石上的壓力公斤/公分²。

常數 a 和 b 不是摩擦系數，也不是凝聚力。因為即使 b 等於 0 時，系數 a 仍隨岩石顆粒間凝聚阻力而變化。經多次觀察證明，岩塊間相互錯動後，在其接觸面上常發現該岩石的粉末。岩塊的粗糙面上，微粒的抗剪斷強度，乃取決於粗糙岩面接觸時的嵌入程度，這種嵌入的程度則與岩塊受壓大小有關。

但是，本書內仍保留了直線參數的常用名稱，如摩擦系數 $a = \tan \alpha$ ；凝聚力 b 公斤/公分² $= c$ 公斤/公分²；式中 α 為根據試驗所得各點作成的直線與橫軸相交後的傾斜角。

因此，堅硬岩塊間抗剪強度的性質與相同岩石抗剪斷強度的性質近似；其區別僅在於結構破壞的數量和原狀岩樣的剪斷面或混凝土與該岩石接觸縫剪斷面上的應力狀態不同。粗糙的岩塊將使其互相連繩，並承受巨大的局部性應力。

抗剪斷強度，此術語今后僅用于事先未確定剪力面的試驗中。

如果岩石上沒有垂直於剪力方向的壓力時，則抗剪斷強度也可稱為抗切強度。

直接利用試驗方法測定抗切強度是很困難的，曾經這樣確定，即混凝土的抗切強度與其極限抗壓強度有關。

根據斯克雷科夫的混凝土抗剪斷強度與垂直壓力間的關係曲線，拉津求得如下的極限抗剪斷強度 τ 與極限抗壓強度的關係方程式：

$$\tau = 0.208 R \sqrt{1 + \frac{10.8\sigma}{R}} + 0.32 R$$

拉津設式中的 $\sigma=0$ ，又推算出如下的混凝土極限抗切強度與極限抗壓強度的關係式：

$$\tau_e = 0.24 R$$

根據其他的研究材料求出，在壓力機上混凝土抗切強度與極限抗壓強度間的比例系數約為 0.20—0.35；麥爾什求出的比例系數為 0.13—0.22；而格伏茲傑夫求得的為 0.17—0.20。圖 1a 是表示混凝土的極限抗壓強度、抗切強度和抗裂強度之間的關係曲線 [8]。根據中央工業建築科學研究院試驗，所求出新舊混凝土接縫間抗切強度與極限抗壓強度間的關係如下：

$$\tau_e = 0.125 R - 0.175 R$$

堅硬岩石的抗切強度與極限抗壓強度間的比值，遠小於混凝土的比值。花崗岩的比值平均是 0.07，斑岩—0.06，砂岩和石灰岩—0.08 [9]。

拉津在砂岩或泥質岩上的建築物混凝土基礎塊作抗剪斷試驗，因水泥成分不同，所以求出的抗剪斷強度有時為 $0.02—0.03 R$ ，有時則為 $0.07 R$ 。根據其他研究者的試驗，當混凝土與砂岩的接縫用高級水泥特別加工後，抗切強度約為 $0.125 R$ 。

由此得知，混凝土的抗切強度為 $0.20 R$ ，而堅硬岩石的抗切強度則為 $0.02 R$ 至 $0.08 R$ 。

上述試驗中，抗剪強度和抗剪斷強度是利用單剪儀測定的。

試驗用試樣的高為 2 公分，平均尺寸為 6×6 公分。試樣最小的面積是 9 公分²，最大的面積是 100 公分²。

野外試驗用試樣的最小面積為 20×30 公分，最大面積— 150×150 公分。

由于均一細粒岩石的剪变系数和剪断系数与試样面積大小无关，所以不同大小試样的試驗結果，正如不同岩石的試驗結果一样，是可以相互比較的。因試驗条件或岩石性質的不同，剪切和剪变系数的數值是有差別的。

抗剪強度和抗剪断強度是在各種垂直壓力下，根据最大水平剪力测定的。

作用在岩样上的每級垂直壓力一直保持到假定的沉陷停止为止，即經30分鐘后岩样平均沉陷在0.002公厘以下；而每級剪力則延續到假定的位移停止，即經15分鐘后平均位移在0.01公厘以內。試样可在浸水或不浸水，順片理或垂直片理的情况下進行剪切試驗。

試驗后應能說明岩样上壓力在1至5公斤/公分²（低壓）、5至

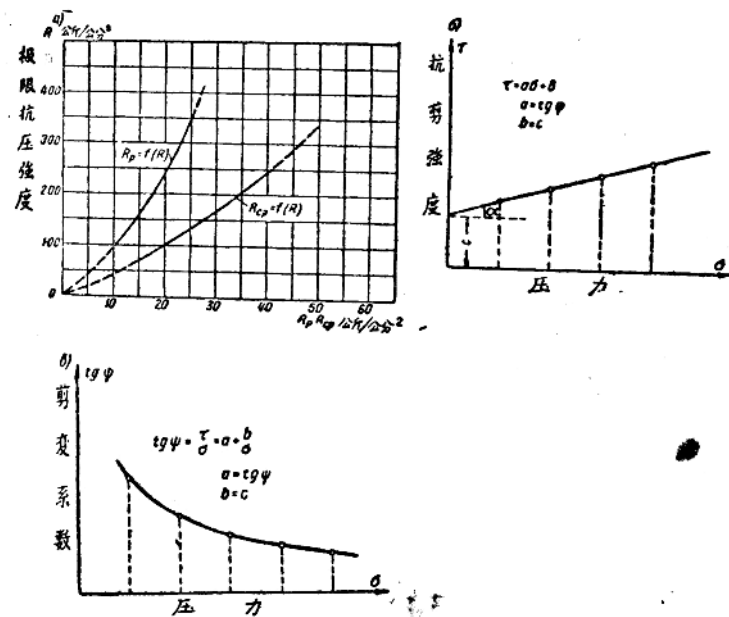


圖 1. 壓力、剪力、剪切力、切力及拉伸力間的關係曲線

a—混凝土；b 和 e—岩石

15公斤/公分²（中压）和15公斤/公分²以上时的剪力特性，并根据这种特性制成抗剪强度或抗剪断强度与压力的关系曲线（图1、6），以及剪变系数或剪切系数与压力的关系曲线（图1、4）。

当压力小时，由于没有“凝聚力”，所得的剪力系数是不变的，并且与压力无关。当压力大时，由于“凝聚力”的存在，当压力一改变，剪变系数或剪断系数也就随之变化。

在叙述坚硬岩石抗剪强度测定结果以前，先谈一谈修建在坚硬岩石上水工建筑物用混凝土抗剪强度的试验结果。

进行试验时，在距离混凝土块边缘相当于宽度1/3的地方施加垂直压力，以使试验室内的研究条件接近于基础受水平力时的状态。当混凝土块面积为430公分²，中心承受5吨压力时，其极限抗剪断强度为35公斤/公分²，而非中心受压时则为39公斤/公分²，计大10%。因此，下列混凝土试验结果中的抗剪强度是试样受平均压力时的抗剪强度。

试验用水泥的特性列于表1。

表 1

指 标 标	试样的时期		
	一 天	三 天	七 天
极限抗压强度（公斤/公分 ² ）	300	500	600
· 压力为11.6公斤/公分 ² 时的 极限抗剪断强度	25	30	35

当压力为11.6公斤/公分²时，试验用的混凝土的极限抗压强度和极限抗剪断强度与水泥含量的关系见表2。

平均荷重为2—10公斤/公分²时，根据混凝土块间抗剪强度的测定结果（每立方公尺混凝土耗用水泥200公斤），得出下列的直线关系：

表 2

每立方公尺混凝土中的水泥含量(公斤)	100	150	200	250	300	400
极限抗压强度公斤/公分 ²	59	98	146	193	240	—
极限抗剪强度公斤/公分 ²	20	34	39	41	42	—
兩強度之比	2.9	2.9	3.7	4.7	5.7	—

$$r = 0.70\sigma + 1.2 \text{ 公斤/公分}^2$$

式中 r ——抗剪强度公斤/公分²；

σ ——混凝土块上压力公斤/公分²。

自上式可以看出，混凝土块间发生剪力时，“凝聚力”并不等于零。

当混凝土块不受荷重沿斜面滑动时，所得斜面倾角的正切为0.77。

另一个边长为30公分的混凝土块[4]间的抗剪强度，经过42次测定的结果是：当摩擦系数为0.58—0.80时，平均摩擦系数为0.68，剪切系数为1.34。

这些结果说明混凝土的性质是不同的。因此，对修建在岩石地基上的混凝土水工建筑物来说，必须测定坚硬岩石以及混凝土的抗剪和抗剪断强度。此外，并应计算混凝土和岩石地基间的凝聚力。远在1938年，德沃里亚辛[4]就已指出了这一计算的必要性。

德沃里亚辛曾经举出了许多实例，说明在修建混凝土坝时，虽然计算了凝聚力，但是事故却仍然发生。这些事故并不是由于没有计算凝聚力，而是因为忽视了坚硬岩石地基的其他特点。

例如，宾夕法尼亚州奥斯金坝的倒塌并非坝体沿着坝基滑动，而是坝体与部分坝基岩石一起滑动所致。

蔡尔宾诺的谢拉(Селла Цербино) (在意大利北部) 坝高16公尺，该坝运用后12年竟被一次猛烈的洪水冲毁。冲毁的原因并不是因地基向下游倾斜，而是由于地基岩石太软弱；因此当洪水侵袭时，冲坏岩石深达20公尺。

高 35 公尺的格列諾壩（Глено）的倒塌同样也不是由于地基向下游倾斜所致，而却是因坝身砌体的质量太坏的缘故。

因此，在研究坚硬岩石地基时，必须全面地研究岩石的完整性，以便在计算建筑物稳定性时，能够正确地考虑凝聚力。

例如，德勒泊水力发电站的某些坝段，地基向下游的倾斜度为 16° ，虽然摩擦系数是 1.32，但坝身仍然很稳定。

卡马拉兹坝的地基向下游的倾斜度为 $6—15^\circ$ ，坝身亦很稳定。

2. 坚硬岩石的抗剪强度

坚硬岩石的抗剪强度，是根据同类岩块间滑动时的剪力与岩石所受压力的关系，以及混凝土块沿岩石滑动时剪力与压力的关系来测定的。

滑石-碳酸盐类岩石

在列宁格勒水电设计分院（ЛЕНГИДЭП）的土壤试验室和水工科学研究院的土壤-地基试验所中，已对滑石-碳酸盐类岩石进行过研究工作。

由混凝土建筑物地基及两侧接触部取得的火成岩试样是蛇纹纯橄橄榄岩和蛇纹岩。这些岩石中的节理异常发育而且不均匀。片理的倾斜度为 70 至 90° ，垂直于建筑物可能发生滑动的方向。在这一岩体内，具有产状极不规则的滑石-碳酸盐类岩石矿集。滑石-碳酸盐岩石成片理状，有滑腻感，呈黄灰色。有些地方滑石-碳酸盐类岩石进一步分解成为黄白色的滑石碎片和碳酸盐粉末。

试样是由岩心钻进时用 6 英寸钻头所取的岩心中，或由试验坑的原状岩样中取得的。

滑石-碳酸盐类岩石的平均物理力学指标见表 3。

对滑石-碳酸盐类岩石的剪力系数曾进行了 11 次测定，而对纯橄橄榄岩则进行了 2 次测定；测定时所用仪器两框为 4×8 公分，每一试样的高度为 2 公分。

表 3

物理力学指标名称	数值
比重	2.95
干燥状态下的容重	2.79
吸水率	0.9 %
垂直于片理的极限抗压强度	220公斤/公分 ²
沿片理的极限抗压强度	160公斤/公分 ²

試驗結果可參看表 4 及圖 2，荷重範圍相當於混凝土建築物底部的計算应力。由圖 2 可以看出；試驗求出的各點很分散，這是多數堅硬岩石的特點。

表 4

指 标 名 称	剪 变 系 数			
	第一次剪切	第二次剪切	第一次剪切	第二次剪切
	$P =$	$P =$	$P =$	$P =$
	3公斤/公分 ²	3公斤/公分 ²	2公斤/公分 ²	1公斤/公分 ²
滑石 - 聲音鑿類岩石剪变系数的平均值	0.54	0.46	0.51	0.41
最大的	0.59	0.56	0.56	0.48
最小的	0.44	0.37	0.37	0.30
最大与最小之比	1.3	1.5	1.5	1.6
純剪切的剪变系数平均值	0.59	0.53	0.58	0.66

第一次剪切後，調轉岩塊，在新鮮面上進行第二次剪切試驗。

第一次剪切時的剪变系数平均為0.52至0.56，而一個試樣的剪变系数則為0.37。應當指出：在第二次受剪時，剪变系数將減小。

當剪力垂直于片理時，無論是沿岩塊的新鮮面，或是進行第二

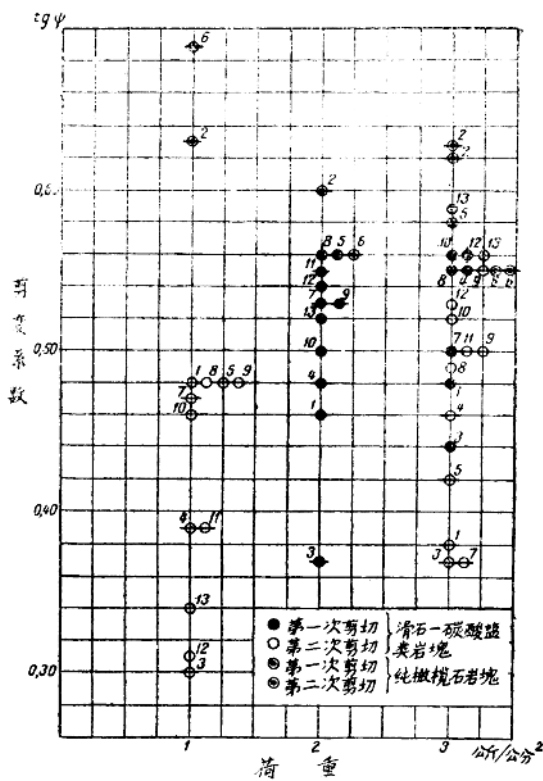


圖 2. 滑石-碳酸鹽類岩石岩塊間的抗剪強度。點旁的數字表示每一試樣的兩個岩塊的分碼，點上的水平線或垂直線則表示剪切面順片理或垂直于片理。

次剪切，試驗時其平均剪變系數均稍大於順片理剪切時的數值（圖 2）。

不同壓力時純橄欖岩塊的剪變系數約為 0.60。

岩石承受不同荷重時的最大與最小剪變系數之比，平均為 1.5，這說明岩石不甚均一。